

УДК 539.3:534.1

© 1992 г. Т. Д. СОФРОНОВА, Ф. Н. ШКЛЯРЧУК

ПРИМЕНЕНИЕ МЕТОДА ОТСЕКОВ К РАСЧЕТУ
КОЛЕБАНИЙ КРУГОВЫХ ЦИЛИНДРИЧЕСКИХ ОБОЛОЧЕК
С ТОНКОСТЕННЫМИ ШПАНГОУТАМИ

Для расчета колебаний осесимметричных оболочечных конструкций, подкрепленных шпангоутами, может быть использован метод численного интегрирования обыкновенных дифференциальных уравнений (после отделения окружной координаты) с ортогонализацией решений в ряде отдельных точек [1]. Этот метод является весьма трудоемким, особенно при определении собственных частот колебаний, когда приходится по много раз решать краевую задачу, задаваясь значениями частот в определенном диапазоне.

При использовании метода конечных элементов (МКЭ) ширина кольцевых конечных элементов, на которые делится оболочка вращения [2], для обеспечения необходимой точности аппроксимации должна быть значительно меньше длины зоны изгибающего краевого эффекта. В результате для удлиненных тонкостенных конструкций, состоящих из большого числа отсеков тонких оболочек вращения, система уравнений МКЭ имеет очень высокий порядок и является плохо обусловленной, что сильно усложняет получение устойчивого решения.

В публикуемой работе для расчета колебаний осесимметричных конструкций, имеющих отсеки цилиндрических оболочек и тонкостенные шпангоуты с произвольной формой поперечного сечения используется метод отсеков [3]. Конструкция поперечными сечениями делится на отсеки, которые рассматриваются как укрупненные конечные элементы или суперэлементы. Длина каждого отсека при этом должна превышать длину зоны простого краевого эффекта, равную, например, в случае изотропной цилиндрической оболочки $\sim 2.5(Rh)^{1/2}$, где R и h – радиус и толщина оболочки. Для отсека круговой цилиндрической оболочки используется квазистатическая аппроксимация перемещений, которые определяются на основании точного решения по безмоментной теории с учетом продольного изгиба вблизи краев в виде простого краевого эффекта. При вычислении потенциальной энергии оболочки отсека учитывается также окружной изгиб.

Для кольцевых тонкостенных шпангоутов с произвольной формой недеформируемого поперечного сечения матрицы жесткости и инерции получены на основании точного решения с учетом депланации поперечных сечений. Учитываются эксцентрикитеты соединения упругих шпангоутов с краями оболочек.

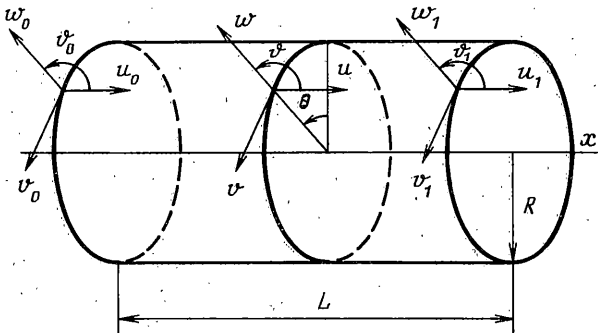
Перемещения оболочек и шпангоутов представляются в виде разложений в тригонометрические ряды по окружной координате. В качестве обобщенных координат рассматриваются амплитудные значения перемещений и углов закручивания шпангоутов или линий соединения соседних отсеков.

1. Отсек цилиндрической оболочки с безмоментными краями. Рассмотрим отсек ортотропной цилиндрической оболочки, (фиг. 1). Перемещения оболочки представим в виде разложений по окружной координате

$$\{u, w\} = \sum_{n=0}^{\infty} \{u^{(n)}, w^{(n)}\} \cos n\theta, \quad v = \sum_{n=1}^{\infty} v^{(n)} \sin n\theta$$

Угол поворота определяется из соотношения

$$R\dot{\theta} = \frac{1}{l} \frac{dw}{d\alpha}, \quad \alpha = \frac{x}{L}, \quad l = \frac{L}{R} \quad (1.1)$$



Фиг. 1

В качестве обобщенных координат, представляющих перемещения оболочки, будем рассматривать их амплитудные значения на краях отсека: $w^{(n)}$, $R\theta^{(n)}$, $u^{(n)}$, $v^{(n)}$ для моментной оболочки; $u^{(n)}$, $v^{(n)}$ для безмоментной или полубезмоментной оболочки. Далее результаты приведем только для одной n -й гармоники ($n=0, 1, 2, \dots$) и для упрощения записи верхний индекс n будем опускать.

Перемещения в пределах длины отсека, полученные на основании точного решения однородной статической задачи для безмоментной оболочки [4], выражаются через перемещения на краях отсека u_0 , v_0 , u_1 , v_1 в виде

$$\begin{aligned} u &= u_0 \chi_0(\alpha) + u_1 \chi_1(\alpha) + (v_1 - v_0) \chi_{01}(\alpha) \\ v &= u_0 \psi_0(\alpha) + u_1 \psi_1(\alpha) + (v_1 - v_0) \psi_{01}(\alpha) + v_0 \\ w &= - \left(nv + \frac{\mu_x}{l} \frac{du}{d\alpha} \right), \quad \chi_0(\alpha) = 1 - (3\kappa_n + 1)\alpha + 3\kappa_n \alpha^2 \\ \chi_1(\alpha) &= (1 - 3\kappa_n)\alpha + 3\kappa_n \alpha^2, \quad \chi_{01}(\alpha) = - \frac{6\kappa_n}{nl}(\alpha - \alpha^2) \\ \psi_0(\alpha) &= \frac{nl}{2}[(1 + \kappa_n)\alpha - (3\kappa_n + 1)\alpha^2 + 2\kappa_n \alpha^3] \\ \psi_1(\alpha) &= \frac{nl}{2}[(\kappa_n - 1)\alpha + (1 - 3\kappa_n)\alpha^2 + 2\kappa_n \alpha^3] \\ \psi_{01}(\alpha) &= (1 - \kappa_n)\alpha + 3\kappa_n \alpha^2 - 2\kappa_n \alpha^3 \\ \kappa_n &= \left[1 + \frac{12}{n^2} \frac{R^2}{L^2} \frac{E_x}{G} \right]^{-1} \end{aligned} \quad (1.2)$$

Здесь E_x , E_θ , μ_x , μ_θ — приведенные модули упругости и коэффициенты Пуассона ортотропной оболочки в продольном и окружном направлениях, G — модуль сдвига в срединной поверхности оболочки.

Далее для упрощения записи перейдем к матричной форме. Обозначим

$$\mathbf{X} = \begin{vmatrix} u_0 \\ v_0 \\ u_1 \\ v_1 \end{vmatrix}, \quad \mathbf{a} = \begin{vmatrix} 1 \\ \alpha \\ \alpha^2 \\ \alpha^3 \end{vmatrix}, \quad \mathbf{a}' = \begin{vmatrix} 0 \\ 1 \\ 2\alpha \\ 3\alpha^2 \end{vmatrix} = \mathbf{P}\mathbf{a}, \quad \mathbf{P} = \begin{vmatrix} 0 & 0 & 0 & 0 \\ 1 & 0 & 0 & 0 \\ 0 & 2 & 0 & 0 \\ 0 & 0 & 3 & 0 \end{vmatrix} \quad (1.3)$$

Тогда выражения (1.2) запишутся в виде

$$u = \mathbf{a}^T \mathbf{A} \mathbf{X}, \quad v = \mathbf{a}^T \mathbf{B} \mathbf{X}, \quad w = \mathbf{a}^T \mathbf{C} \mathbf{X}, \quad R\theta = l^{-1} \mathbf{a}^T \mathbf{C} \mathbf{X} \quad (1.4)$$

$$\mathbf{A} = \begin{vmatrix} 1 & 0 & 0 & 0 \\ -(1+3\kappa_n) & -\frac{6\kappa_n}{nl} & 1-3\kappa_n & \frac{6\kappa_n}{nl} \\ 3\kappa_n & \frac{6\kappa_n}{nl} & 3\kappa_n & -\frac{6\kappa_n}{nl} \\ 0 & 0 & 0 & 0 \end{vmatrix}$$

$$\mathbf{B} = \begin{vmatrix} 0 & 1 & 0 & 0 \\ \frac{nl}{2}(1+\kappa_n) & \kappa_n-1 & -\frac{nl}{2}(1-\kappa_n) & 1-\kappa_n \\ -\frac{nl}{2}(1+3\kappa_n) & -3\kappa_n & \frac{nl}{2}(1-3\kappa_n) & 3\kappa_n \\ nl\kappa_n & 2\kappa_n & nl\kappa_n & -2\kappa_n \end{vmatrix}$$

$$\mathbf{C} = -\|n\mathbf{B} + (\mu_x/l)\mathbf{P}^T\mathbf{A}\|$$

Используя полученные решения в форме (1.4), запишем выражения для потенциальной и кинетической энергий отсека безмоментной оболочки в обобщенных координатах

$$\Pi_\delta = 1/2 \mathbf{X}^T \mathbf{K}_\delta \mathbf{X}, \quad T_\delta = 1/2 \mathbf{X}^T \mathbf{M}_\delta \mathbf{X} \quad (1.5)$$

$$\mathbf{K}_\delta = \varepsilon_n \frac{\pi E_x h}{l} \begin{vmatrix} 3\kappa_n + 1 & \frac{6\kappa_n}{nl} & 3\kappa_n - 1 & -\frac{6\kappa_n}{nl} \\ \frac{6\kappa_n}{nl} & -\frac{12\kappa_n}{n^2 l^2} & \frac{6\kappa_n}{nl} & -\frac{12\kappa_n}{n^2 l^2} \\ 3\kappa_n + 1 & \frac{6\kappa_n}{nl} & 3\kappa_n - 1 & -\frac{6\kappa_n}{nl} \\ -\frac{6\kappa_n}{nl} & -\frac{12\kappa_n}{n^2 l^2} & -\frac{6\kappa_n}{nl} & \frac{12\kappa_n}{n^2 l^2} \end{vmatrix}$$

$$\mathbf{M}_\delta = \varepsilon_n \pi R m_0 L [\mathbf{A}^T \mathbf{D} \mathbf{A} + \mathbf{B}^T \mathbf{D} \mathbf{B} + \mathbf{C}^T \mathbf{D} \mathbf{C}] \quad (1.6)$$

$$\mathbf{D} = \|d_{ij}\|, \quad d_{ij} = \frac{1}{i+j-1}, \quad (i, j = 1, 2, 3, 4)$$

где \mathbf{K}_δ — матрица жесткости, \mathbf{M}_δ — матрица инерции, h — толщина, m_0 — удельная масса оболочки; $\varepsilon_n = 2$ при $n=0$, и $\varepsilon_n = 1$ при $n \geq 1$.

Учтем дополнительную потенциальную энергию окружного изгиба отсека оболочки

$$\Pi_u = \frac{1}{2} \varepsilon_n \pi R D_0 L \int_0^\theta \kappa_\theta^2 d\alpha \quad (1.7)$$

$$\kappa_\theta = n(v + nw)/R^2$$

где D_0 — цилиндрическая жесткость ортотропной оболочки на изгиб в окружном направлении.

Выражение (1.7) с учетом (1.4) записывается в виде

$$\Pi_u = \frac{1}{2} \mathbf{X}^T \mathbf{K}_u \mathbf{X} \quad (1.8)$$

$$\mathbf{K}_u = \varepsilon_n n^2 \pi D_0 L R^{-3} [\mathbf{B}^T \mathbf{D} \mathbf{B} + n \mathbf{B}^T \mathbf{D} \mathbf{C} + n (\mathbf{B}^T \mathbf{D} \mathbf{C})^T + n^2 \mathbf{C}^T \mathbf{D} \mathbf{C}]$$

Таким образом с учетом окружного изгиба потенциальная энергия отсека оболочки будет

$$\Pi = \Pi_\delta + \Pi_u = \frac{1}{2} \mathbf{X}^T \mathbf{K} \mathbf{X}, \quad \mathbf{K} = \mathbf{K}_\delta + \mathbf{K}_u \quad (1.9)$$

При $n \geq 1$ можно положить $\mu_x = 0$ и тогда (1.9) будет соответствовать полубезмоментной теории цилиндрической оболочки.

2. Отсек оболочки с одним моментным и другим безмоментным краями. Рассмотрим сначала случай, когда оболочка отсека подвергается продольному изгибу вблизи левого края $x=0$, а правый край $x=L$ остается безмоментным. Продольный изгиб тонкой оболочки при небольших значениях n определим приближенно на основе теории простого краевого эффекта (для изотропной цилиндрической оболочки это возможно при $n^2 \leq 12(R/h)^4$ [4]). Тогда перемещения u , v будут такими же как для безмоментной оболочки (1.2), а нормальное перемещение равно

$$w = e^{-\lambda x} (b_1 \cos \lambda x + b_2 \sin \lambda x) - \left(nv + \mu_x L^{-1} \frac{du}{dx} \right), \quad (\lambda^2 = E_0 h L^4 / (4 D_x R^3)) \quad (2.1)$$

где D_x — цилиндрическая жесткость ортотропной оболочки на изгиб в продольном направлении; b_1 , b_2 — произвольные константы. Для удобства вычислений (2.1) запишем в виде

$$w = e^{-\lambda x} (b_1 \cos \lambda x + b_2 \sin \lambda x) + C_0 + C_1 x + C_2 x^2 + C_3 x^3 \quad (2.2)$$

где константы C_0 , C_1 , C_2 , C_3 совместно с b_1 , b_2 представляют вектор $\mathbf{f} = \{b_1 b_2 C_0 C_1 C_2 C_3\}^T$.

Деформация отсека с моментным левым и безмоментным правым краями характеризуется вектором обобщенных координат $\mathbf{Y}_0 = \{w_0 R \theta_0 u_0 v_0 u_1 v_1\}^T$, где в данном случае по сравнению с вектором X для безмоментной оболочки введено две дополнительных обобщенных координаты w_0 и $R \theta_0$, представляющих нормальное перемещение и умноженный на радиус угол поворота на левом краю отсека. Из сравнения (2.1) и (2.2) с учетом (1.2) получим следующее соотношение между векторами \mathbf{f} и \mathbf{Y}_0 :

$$\mathbf{f} = \Phi \mathbf{Y}_0, \quad \Phi = \begin{vmatrix} \Omega \\ \mathbf{0}_{2 \times 4} \end{vmatrix} \quad (2.3)$$

$$\Omega = \begin{vmatrix} 1 & 0 & -c_{11} & -c_{12} & -c_{13} & -c_{14} \\ 2 & \frac{1}{\lambda} & -\left(c_{11} + \frac{c_{21}}{\lambda}\right) & -\left(c_{12} + \frac{c_{22}}{\lambda}\right) & -\left(c_{13} + \frac{c_{23}}{\lambda}\right) & -\left(c_{14} + \frac{c_{24}}{\lambda}\right) \end{vmatrix}$$

где \mathbf{C} — матрица (1.3) порядка 4×4 , а c_{ij} — ее элементы.

Потенциальная энергия безмоментной деформации Π_k^0 записывается также как (1.5). Потенциальная энергия изгиба оболочки вблизи левого края будет $\Pi_k^0 = \frac{1}{2} \epsilon_n \pi E_0 h l (b_1^2 + b_2^2) / (2\lambda)$ или с учетом преобразования (2.3)

$$\Pi_k^0 = \frac{1}{2} \mathbf{Y}_0^T \mathbf{K}_k^0 \mathbf{Y}_0, \quad \mathbf{K}_k^0 = \epsilon_n \pi E_0 h l \Omega^2 \mathbf{C} / (2\lambda) \quad (2.4)$$

Потенциальная энергия окружного изгиба оболочки (1.7) с учетом (2.2) и (2.3) записывается в виде

$$\Pi_u^0 = \frac{1}{2} \mathbf{Y}_0^T \mathbf{K}_u^0 \mathbf{Y}_0, \quad (2.5)$$

$$\mathbf{K}_u^0 = \epsilon_n \pi n^2 D_0 L R^{-3} [\mathbf{B}^{0T} \mathbf{D} \mathbf{B}^0 + n \mathbf{B}^{0T} \mathbf{H} \Phi + n (\mathbf{B}^{0T} \mathbf{H} \Phi)^T + n^2 \Phi^T \mathbf{S} \Phi]$$

$$\mathbf{H} = \begin{vmatrix} \mathbf{A}^T & \mathbf{D} \end{vmatrix}, \quad \mathbf{S} = \begin{vmatrix} \Gamma & \Lambda \\ \Lambda^T & \mathbf{D} \end{vmatrix}, \quad \Gamma = \frac{1}{8\lambda} \begin{vmatrix} 3 & 1 \\ 1 & 1 \end{vmatrix}$$

$$\Lambda = \frac{1}{2\lambda} \begin{vmatrix} 1 & 0 & -\lambda^{-3} & -3\lambda^{-3} \\ i & \lambda^{-1} & \lambda^{-2} & 0 \end{vmatrix} \quad (2.6)$$

где \mathbf{B}^0 — матрица размерностью 6×4 , которая получается путем добавления в матрице \mathbf{B} первых двух нулевых столбцов.

В результате потенциальная энергия отсека ортотроцкой оболочки с учетом окружного изгиба и продольного изгиба в районе левого края ($\alpha=0$) записывается в виде $\Pi^o = \Pi_\delta^o + \Pi_u^o + \Pi_h^o$ или

$$\Pi^o = \frac{1}{2} Y_0^T K^o Y_0, \quad K^o = K_\delta^o + K_u^o + K_h^o \quad (2.7)$$

где K_δ^o – матрица жесткости безмоментной оболочки, соответствующая вектору Y_0 ; она получается из матрицы K_δ путем замены ее слева двумя нулевыми столбцами и сверху двумя нулевыми строками.

Кинетическая энергия отсека с моментным левым краем.

$$T^o = \frac{1}{2} Y_0^T M^o Y_0, \quad M^o = \epsilon_u \pi m_0 R [A^o T D A^o + B^o T D B^o + \Phi^T S \Phi] \quad (2.8)$$

где A^o – матрица размерностью 6×4 , которая получается путем добавления к матрице A первых двух нулевых столбцов (также как B^o получается из B).

Если отсек оболочки подвергается продольному изгибу на правом краю $\alpha=l$, а левый край считается безмоментным, то для него все результаты могут быть получены из предыдущего случая путем следующих замен: $w_0 \Rightarrow w_1$, $R\theta_0 \Rightarrow -R\theta_1$, $u_0 \Rightarrow -u_1$, $v_0 \Rightarrow v_1$, $u_1 \Rightarrow -u_0$, $v_1 \Rightarrow v_0$, $\alpha \Rightarrow -l-\alpha$. В этом случае вектор Y_0 следует заменить на вектор Y_1 , как

$$Y_0 \rightarrow N Y_1 \quad (2.9)$$

$$Y_1 = \begin{vmatrix} u_0 \\ v_0 \\ w_1 \\ R\theta_1 \\ u_1 \\ v_1 \end{vmatrix}, \quad N = \begin{vmatrix} 0 & 0 & 1 & 0 & 0 & 0 \\ 0 & 0 & 0 & -1 & 0 & 0 \\ 0 & 0 & 0 & 0 & -1 & 0 \\ 0 & 0 & 0 & 0 & 0 & 1 \\ -1 & 0 & 0 & 0 & 0 & 0 \\ 0 & 1 & 0 & 0 & 0 & 0 \end{vmatrix}$$

Тогда выражения потенциальной и кинетической энергий отсека с безмоментным левым и моментным правым краями будут

$$\Pi^i = \frac{1}{2} Y_1^T K^i Y_1, \quad T^i = \frac{1}{2} Y_1^T M^i Y_1 \quad (2.10)$$

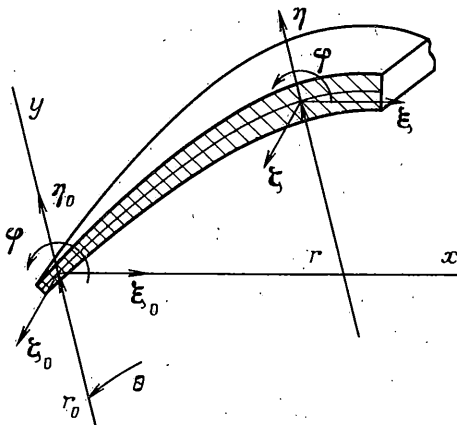
$$K^i = N^T K^o N, \quad M^i = N^T M^o N$$

Если у оболочки оба края моментные, то при условии, что ее длина превышает длину зоны краевого эффекта, эту оболочку можно разделить поперечным сечением на два отсека и края, совпадающие с данным сечением, рассматривать как безмоментные. К этим отсекам можно применить полученные выше результаты.

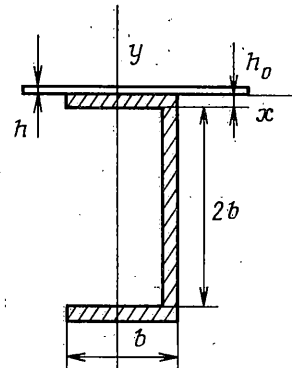
3. Тонкостенный шпангоут. Рассмотрим упругое тонкостенное кольцо с произвольным недеформируемым контуром поперечного сечения (фиг. 2). Осевое, радиальное и окружное перемещения (ξ , η , и ζ) на некоторой произвольно выбранной окружности радиуса r_0 , которая проходит через начало координат Oxy в поперечном сечении кольца, и угол закручивания φ представляются в виде разложений

$$\{\xi_0, \eta_0, \varphi\} = \sum_{n=0}^{\infty} \{\xi_0^{(n)}, \eta_0^{(n)}, \varphi^{(n)}\} \cos n\theta, \quad \zeta_0 = \sum_{n=1}^{\infty} \zeta_0^{(n)} \sin n\theta \quad (3.1)$$

В качестве обобщенных координат будем рассматривать амплитудные значения этих перемещений и угла закручивания, умноженного на r_0 . Вектор этих обобщенных координат обозначим через $\mathbf{q}_0 = \{\eta_0^{(n)} r_0 \varphi^{(n)} \xi_0^{(n)} \zeta_0^{(n)}\}^T$. Вектор амплитудных значений перемещений и угла закручивания на окружности радиуса $r_i = r_0 + y_i$ с координатами $x = -x$, $y = y$ (фиг. 2) будет $\mathbf{q}_i = \{\eta_i^{(n)} r_i \varphi^{(n)} \xi_i^{(n)} \zeta_i^{(n)}\}^T$.



Фиг. 2



Фиг. 3

Для тонкостенного кольца с недеформируемым поперечным сечением с учетом его депланации согласно [5] получим

$$\mathbf{q}_i = \mathbf{C}_i \mathbf{q}_0 \quad (3.2)$$

$$\mathbf{C}_i = \begin{vmatrix} 1 & \frac{x_i}{r_0} & 0 & 0 \\ 0 & \frac{r_i}{r_0} & 0 & 0 \\ 0 & -\frac{y_i}{r_0} & 1 & 0 \\ n \frac{y_i}{r_0} & n \frac{\omega_i}{r_0^2} & n \left(\frac{x_i}{r_0} + \frac{\omega_i}{r_0^2} \right) & \frac{r_i}{r_0} \end{vmatrix}, \quad \omega = rr_0 \int_0^s \frac{1}{r^2} (x dy - y dx)$$

где s — координата, отсчитываемая вдоль срединной линии профиля ($s=0$, при $x=y=0$).

Выражения потенциальной и кинетической энергий кольца для n -ой гармоники, вычисленные при использовании разложения $r^{-1} = (r_0 + y)^{-1}$ по степеням y до членов, содержащих обычные геометрические характеристики поперечного сечения (как в теории прямолинейных тонкостенных стержней [6]) записываются в виде

$$\Pi_0 = \frac{1}{2} \mathbf{q}_0^T \mathbf{K}_0 \mathbf{q}_0, \quad T_0 = \frac{1}{2} \mathbf{q}_0^T \mathbf{M}_0 \mathbf{q}_0 \quad (3.3)$$

Коэффициенты матриц жесткости кольца $\mathbf{K}_0 = \|k_{ij}\|_{4 \times 4}$ и инерции $\mathbf{M}_0 = \|m_{ij}\|_{4 \times 4}$ вычисляются по следующим формулам ($k_{ij} = k_{ji}$, $m_{ij} = m_{ji}$):

$$\begin{aligned} k_{11} &= \varepsilon_n \pi E r_0^{-3} [Fr_0^2 + (2n^2 - 1) S_x r_0 + (n^2 - 1)^2 I_x] \\ k_{12} &= \varepsilon_n \pi E r_0^{-4} [n^2 (n^2 - 1) I_{x\omega} + (n^2 - 1) I_{xy} r_0 + n^2 S_\omega r_0 + S_y r_0^2] \\ k_{13} &= \varepsilon_n \pi E r_0^{-4} n^2 [(n^2 - 1) (I_{xy} r_0 + I_{y\omega}) + S_y r_0^2 + S_\omega r_0] \\ k_{14} &= \varepsilon_n \pi E r_0^{-2} n [Fr_0 + n^2 S_x] \\ k_{22} &= \varepsilon_n \pi E r_0^{-5} [n^4 I_\omega + 2n^2 I_{x\omega} r_0 + I_y r_0^2] + \varepsilon_n \pi r_0^{-3} n^2 G J_k \\ k_{23} &= \varepsilon_n \pi E r_0^{-5} n^2 [(n^2 + 1) I_{x\omega} r_0 + n^2 I_\omega + I_y r_0^2] + \varepsilon_n \pi r_0^{-3} n^2 G J_k \\ k_{24} &= \varepsilon_n \pi E r_0^{-3} n [n^2 S_\omega + S_y r_0] \\ k_{33} &= \varepsilon_n \pi E r_0^{-5} n^4 [I_y r_0^2 + 2I_{x\omega} r_0 + I_\omega] + \varepsilon_n \pi r_0^{-3} n^2 G J_k \\ k_{34} &= \varepsilon_n \pi E r_0^{-3} n^3 [S_y r_0 + S_\omega] \\ k_{44} &= \varepsilon_n \pi E r_0^{-2} n^2 [Fr_0 + S_x] \end{aligned} \quad (3.4)$$

$$\begin{aligned}
m_{11} &= \epsilon_n \pi \rho r_0^{-4} [Fr_0^2 + S_x r_0 + n^2 I_x] \\
m_{12} &= \epsilon_n \pi \rho r_0^{-2} [S_y r_0^2 + I_{xy} r_0 + n^2 I_{y0}] \\
m_{13} &= \epsilon_n \pi \rho r_0^{-2} n^2 [I_{xy} r_0 + I_{y0}] \\
m_{14} &= \epsilon_n \pi \rho r_0^{-4} n [S_x r_0 + 2I_x] \\
m_{22} &= \epsilon_n \pi \rho r_0^{-3} [I_x r_0^2 + I_y r_0^2 + n^2 I_e] \\
m_{23} &= \epsilon_n \pi \rho r_0^{-3} [-S_x r^3 - I_x r_0^2 + n^2 I_{x0} r_0 + n^2 I_e] \\
m_{24} &= \epsilon_n \pi \rho r_0^{-2} n [S_o r_0 + 2I_{y0}] \\
m_{33} &= \epsilon_n \pi \rho r_0^{-3} [Fr_0^4 + S_x r^3 + n^2 I_y r_0^2 + 2n^2 I_{x0} r_0 + n^2 I_e] \\
m_{34} &= \epsilon_n \pi \rho r_0^{-2} n [S_y r_0^2 + S_o r_0 + 2I_{xy} r_0 + 2I_{y0}] \\
m_{44} &= \epsilon_n \pi \rho r_0^{-4} [Fr_0^2 + 3S_x r_0 + 3I_x] \\
GJ_k &= G \frac{r_0^3}{3} \int \frac{h_0^3}{r^3} ds \approx G \frac{1}{3} \int h_0^3 ds; \quad G = \frac{E}{2(1+\mu)}, \quad E_t = \frac{E}{(1-\mu^2)}
\end{aligned} \tag{3.5}$$

где E , μ , $h_0(s)$, ρ — модуль упругости, коэффициент Пуассона, толщина и плотность кольца.

В формулах (3.4), (3.5) F , S , и I с соответствующими индексами обозначают обычные геометрические характеристики (площадь, статические моменты и моменты инерции) поперечного сечения тонкостенного кольца с учетом депланации [6]. Коэффициенты в форме (3.4), (3.5) при соответствующем выборе функции депланации ω также справедливы для колец с замкнутым тонкостенным и сплошным поперечным сечением. Для них депланация может быть принята в виде $\omega \approx xy$ или может не учитываться [6].

Условия кинематического сопряжения упругого шпангоута с левым и правым моментными краями соседних отсеков по линиям с координатами x_i , y_i и x_j , y_j , соответственно записываются в виде

$$Y_i = q_i = C_i q_0, \quad Y_j = q_j = C_j q_0 \tag{3.6}$$

где матрицы C_i и C_j имеют вид (3.2). Таким образом векторы перемещений краев отсеков с помощью преобразований (3.6) выражаются через вектор перемещений кольца, компоненты которого далее рассматриваются в качестве основных обобщенных координат.

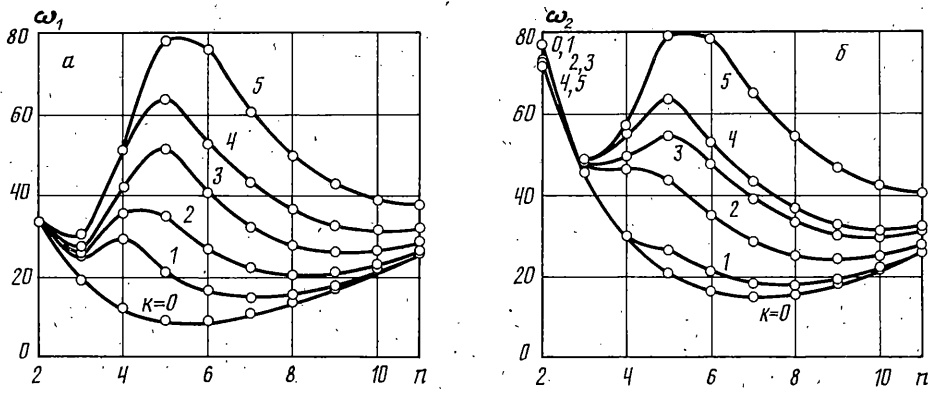
Уравнения колебаний конструкции как системы отсеков и шпангоутов составляются в обобщенных координатах по методу Лагранжа.

4. Примеры расчета и оценки точности. Для численного исследования сходимости метода, а также для целей сравнения результатов расчета с данными, полученными аналитическим путем, были проведены некоторые параметрические расчеты.

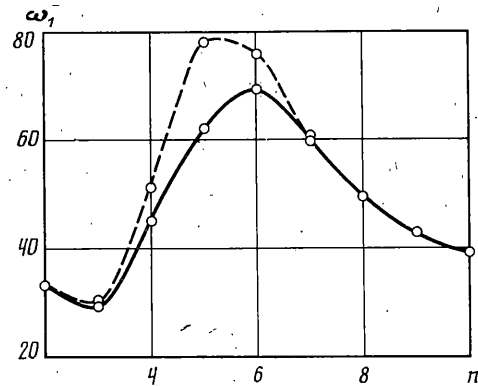
В табл. 1 приведены результаты расчетов безразмерий низшей частоты собственных колебаний $\sigma_1 = \omega_1 10^2 R [\rho(1-\mu^2)/E]^{1/2}$ свободноупругой безмоментной изотропной цилиндрической оболочки со следующими параметрами $L/R=4$, $E/G=2,7$, $R/h=200$, $\mu=0,3$. Результаты даны в зависимости от числа отсеков N , на которые делилась оболочка, при $n=2, 4, 8$. Точные значения низшей собственной частоты σ_1^* получены при учете только инерции в направлении нормали к оболочке. Видно, что решение сходится по числу отсеков для каждой окружной гармоники и хорошо согласуется с точным решением.

Таблица 1

n	σ_1 $N=4$	σ_1 $N=6$	σ_1 $N=10$	σ_1^*
2	11,05	11,01	10,98	11,40
4	3,401	3,395	3,394	3,435
8	0,9014	0,9008	0,9007	0,9035



Фиг. 4



Фиг. 5

В табл. 2 приведены результаты расчетов безразмерной низшей частоты колебаний $\sigma_1 = \omega_1 10^2 R [\rho(1 - \mu^2)/E]^{1/2}$ гладкой цилиндрической оболочки с учетом окружного изгиба и продольного краевого изгиба при различных условиях закрепления торцов и для различных геометрических параметров оболочки. Оболочка разбивалась на десять ($N=10$) одинаковых отсеков. Здесь же приведены значения низшей частоты σ_1 , полученные аналитическим путем [7]. В табл. 2 используются следующие обозначения для условий закрепления на краю (Γ): $s-s$ — оба края свободно оперты; $c-c$ — оба края жестко защемлены.

Были проведены расчеты собственных частот колебаний изотропной цилиндрической оболочки, защемленной по обоям краям и подкрепленной с внутренней стороны.

Таблица 2

Γ	L/R	R/h	n	σ_1	σ_1^*
$s-s$	2	300	7	6,420	6,669
	2	300	8	9,091	9,366
$c-c$	8	300	3	1,686	1,736
	8	300	4	2,377	2,438
$s-s$	8	800	4	1,025	1,049
	8	800	5	1,519	1,545
$c-c$	8	100	3	2,663	2,930
	8	100	3	3,864	4,068
$s-s$	6	200	4	2,610	2,759
	6	200	4	3,875	3,991

роны шпангоутами ($R/L=6$, $R/h=500$, $E/G=2,6$, $\mu=0,3$, $R=1$ м). Поперечное сечение шпангоута постоянной толщины h_0 изображено на фиг. 3. Для него принято: $h_0=2h_a$, $b=5h_0$. Оболочка и шпангоут сделаны из одного материала ($E/\rho=12 \cdot 10^{10}$ $\text{м}^2/\text{с}^2$). На фиг. 4 а, б представлены зависимости первой и второй частот от n при различном числе шпангоутов k , разделяющих оболочку на одинаковые отсеки. Эти результаты получены без учета депланации поперечных сечений шпангоутов (их число указано на фиг. 4 а, б). Влияние депланации на визшую частоту колебаний оболочки с пятью шпангоутами показано на фиг. 5 (штриховая линия — без учета депланации, сплошная — с учетом депланации).

СПИСОК ЛИТЕРАТУРЫ

1. Мячеников В. И., Григорьев И. В. Расчет составных оболочечных конструкций на ЭВМ. Справочник. М.: Машиностроение, 1984, 212 с.
2. Вольмир А. С., Куранов В. А., Турбасовский А. Т. Статистика и динамика сложных структур. Прикладные многоуровневые методы исследований. М.: Машиностроение, 1989, 247 с.
3. Образцов И. Ф., Булычев Л. А., Васильев В. В. и др. Строительная механика летательных аппаратов. М.: Машиностроение, 1986, 536 с.
4. Видерман В. Л. Механика тонкостенных конструкций. М.: Машиностроение, 1977, 489 с.
5. Джапеладзе Г. Ю. Теория тонкостенных криволинейных стержней, обладающих в поперечном сечении недеформируемым контуром // ПММ. 1944. Т. 8. Вып. 1. С. 25–32.
6. Власов В. З. Избранные труды. Т. 2. М.: Изд-во АН СССР, 1962. 507 с.
7. Прочность. Устойчивость. Колебания: Справочник в трех томах / Под ред. И. А. Биргера и Я. Г. Пановко. М.: Машиностроение, 1968. Т. 3. 567 с.

Москва

Поступила в редакцию
18.XII.1990